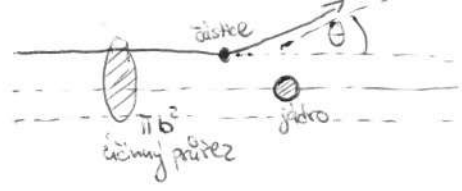


# Měření rozměru jader



impaktní parametr  

$$b = \frac{k \cdot e^2 Z_1 Z_2}{m v^2} \cdot \sqrt{\frac{1 + \cos \theta}{1 - \cos \theta}}$$

## Rutherfordův rozptyl:

$$b(\theta) = \frac{b(\pi/2)}{\tan(\theta/2)} \quad \begin{matrix} \theta \rightarrow 0 & \rightarrow & \infty \\ \theta \rightarrow \pi & \rightarrow & 0 \end{matrix}$$

$$r_{min} = \alpha Z_1 Z_2 \frac{\hbar c}{T_k} ; \quad b(\pi/2) = \frac{r_{min}}{2} \quad \text{minimální rozměr jádra}$$

pro  $T_k = 17,7 \text{ MeV}$  při rozptylu na zlatě:  $r_{min} = 29,5 \text{ fm}$

účinný průřez:  $\sigma = \pi b^2(\cos \theta) \rightarrow d\sigma = \pi \frac{db^2}{\cos \theta} \cdot d\cos \theta \rightarrow \frac{d\sigma}{d\Omega} = \frac{d\sigma}{d\cos \theta \cdot d\phi} = \frac{1}{2} \frac{db^2}{d\cos \theta}$

$$\sigma(\theta \geq \frac{\pi}{2}) = \pi b^2(\frac{\pi}{2}) = \pi \frac{r_{min}^2}{4} = 683 \text{ fm}^2 = 6,83 \text{ barn} = 100 \text{ fm}^2$$

nerelativistický diferenciální průřez  $\frac{d\sigma}{d\Omega} = z^2 Z^2 \alpha^2 (\hbar c)^2 \frac{m^2}{p^4} \frac{1}{(1 - \cos \theta)^2} \left( = \frac{r_{min}^2}{4(1 - \cos \theta)^2} \right)$

## Vztah mezi $\sigma$ a $p$ stí interakce

$\rightarrow$    $P(L) = 1 - e^{-\frac{\sigma p N A}{A} L} \approx \frac{\sigma p N A L}{A}$   
průřez hustota Avogadro  
délka tělesa  
atomové číslo tělesa

$$dP(x) = (1 - P(x)) \sigma dx \cdot \frac{\rho N_A}{A}$$

výsledky pokusu: částice  $\alpha$  se rozptylují, jakoby jádro bylo bodové - rozměr jádra je tedy  $< r_{min}$  a vychází tedy  $\sim 2000 \times$  menší než rozměr atomů

$\alpha$  pronikaly do jader Be  $\Rightarrow$  konečný rozměr jádra  $\Rightarrow$  byl objeven neutron

počet detekovaných částic odpovídá Poissonovu rozdělení

účinný průřez lze také definovat v kvantové mechanice

$$d\sigma = \frac{\vec{j}_{out} \cdot d\vec{S}}{|\vec{j}_{in}|}$$

$$\vec{j} = -i \frac{\hbar}{2m} (\psi^* \nabla \psi - \psi \nabla \psi^*)$$

$$d\vec{S} = r^2 d\Omega \cdot \frac{\vec{r}}{r}$$

$$\psi_{in} = e^{i \frac{\vec{p} \cdot \vec{r}}{\hbar c}} \rightarrow |\vec{j}_{in}| = \frac{p}{m}$$

$$\psi_{out} = f(\theta, \varphi) \cdot \frac{e^{i \frac{p r}{\hbar c}}}{r} \rightarrow \vec{j}_{out} = \frac{p}{m} \frac{|f(\theta, \varphi)|^2}{r^2} \cdot \frac{\vec{r}}{r}$$

$$\rightarrow \frac{d\sigma}{d\Omega} = |f(\theta, \varphi)|^2 \quad \text{což se musí vyřešit...}$$

výsledek Q. m. v prvním přiblížení je shodný s klasickým (kvantově:  $\frac{d\sigma}{d\Omega} = \frac{(\hbar c)^2 \alpha^2}{4 T_k^2} \frac{1}{(1 - \cos \theta)^2}$ )

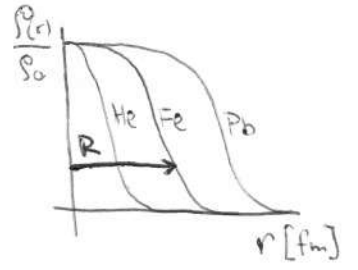
poté další korekce: Mottův rozptyl:  $(\frac{d\sigma}{d\Omega})_M = (\frac{d\sigma}{d\Omega})_R \cdot (1 - \beta^2 \frac{1 - \cos \theta}{2})$  člen navíc souvisí se spinem  $e^-$

## Formfaktor

- Fourierův obraz hustoty náboje
- změrně rozptýlí a porovnáme ho s rozptylem na bodovém náboji  $\rightarrow$  dostaneme kvadrát formfaktoru, který porovnáme s teoretickým modely

## Saxon-Woods

- popisní rozložení hustoty v jádře  $\rho(r) = \frac{\rho_0}{1 + e^{\frac{r-R}{a}}}$  kde  $R = 1,2 \cdot A^{1/3} \text{ fm}$   
 $a = 0,5 \text{ fm}$



- pro velmi malá jádra (v protony) lze pomocí elektronů měřit střední kvadratický poloměr:

$$F(q) \approx 1 - \frac{1}{6} \frac{q^2 \langle r^2 \rangle}{(\hbar c)^2}$$

# Mionový atom

- elektron nahrazen záporným mionem  $m_\mu \sim 207 m_e$
- určit rozměry pomocí vlivu konečných rozměrů jádra na energetické hladiny elek. v obalu jádra
- energie základ. stavu mionového atomu železa  $R=0 \rightarrow E = -\frac{1}{2} m_\mu (Z\alpha)^2 = -1,9 \text{ MeV} = E_\mu$
- vazbová energie  $\mu$  v základ. hladině závisí na poloměru jádra  $R = 1,2 \cdot A^{1/3} \text{ fm} \sim 4,6 \text{ fm} \Rightarrow E = -1,635 \text{ MeV}$
- bohrův poloměr  $r_B = r_{B,e} \cdot \frac{m_e}{m_\mu} \cdot \frac{1}{Z} \sim 9,7 \text{ fm}$  mionu v železe
- pokud  $l=0$  :  $E u(r) = -\frac{(\hbar c)^2}{2m} \frac{d^2}{dr^2} u(r) - \alpha \frac{\hbar c}{r} u(r)$  pro  $r > R$  ... rozměr jádra

• Bohrov poloměr H.:  $r_B = 53000 \text{ fm} \rightarrow r_{B,\mu} = \frac{53000 \text{ fm}}{210} = 252 \text{ fm}$   
s elektronem

• energetické hladiny:  $E_e = \frac{1}{2} m_e \alpha^2 = -13,6 \text{ eV}$   
 $E_\mu = \frac{1}{2} m_\mu \alpha^2 = \dots \dots$  naměřením spektra mionového atomu lze určit  $m_\mu = 106 \text{ MeV}$

# Hmoty jader a vazbova energie, neutron, jaderne sily

2-3

## Model E. Rutherforda

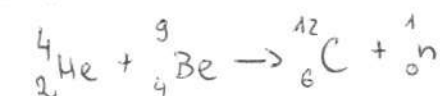
- 22 protonu v jadre v naholik fm + 12 elektronu  $\rightarrow$  spinove nesedi napr.  $^{14}_7\text{N} \rightarrow 14p^+ + 7e^- \Rightarrow \text{spin } n + 1/2$ , ale namereni
- zjisteno, ze elektrony vyletajici z jader ( $\beta$  castice) maji spojite spektrum a to z Rutherford. nevyplývá
- problem se spojitym spektrem
- problem se zach. mom. hybnosti } chcel vyresit Pauli neutronem  $\leftarrow$  dnes neutrino

Ruth.:  $\left( \begin{matrix} 22 \text{ protonu} \\ 2 \text{ elektrony} \end{matrix} \right) \rightarrow \left( \begin{matrix} 22 p^+ \\ 2-1 e^- \end{matrix} \right) + e^-$

Pauli:  $\left( \begin{matrix} 22 p^+ \\ 2 e^- \\ 2 \bar{\nu}_e \end{matrix} \right) \rightarrow \left( \begin{matrix} 22 p^+ \\ 2-1 e^- \\ 2-1 \bar{\nu}_e \end{matrix} \right) + e^- + \bar{\nu}_e$

skutečnost  $\left( \begin{matrix} 2 p^+ \\ (A-2) n^0 \end{matrix} \right) \rightarrow \left( \begin{matrix} (2+1) p^+ \\ (A-2-1) n^0 \end{matrix} \right) + e^- + \bar{\nu}_e$

## Objev neutronu: (James Chadwick)

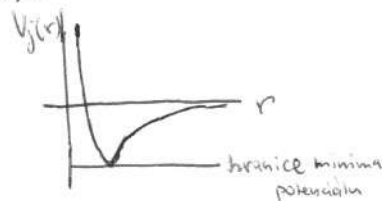


$\alpha$ -ozarovanim Be vznikalo pronikave neutralni zarení (dokazalo vyrazit protony z parafinu a udelit jim až 0,1c : nutne  $E_{pn} \sim 42 \text{ MeV}$ ; a jaderm dusiku ze vzduchu udelit rychlost až 0,013c :  $E_{pn} \sim 91 \text{ MeV}$ )

- $\Rightarrow e^-$  v jadernych rozpadech vznikaji z  $\beta$ -rozpadi neutronu  $\Rightarrow$  jadro N má 17  $p^+$  a 17  $n^0$  což je sudý počet fermionu a tedy celododsky spin
- $\Rightarrow$  část energie odnáš  $\bar{\nu}_e \Rightarrow$  spojité  $e^-$  spektrum

## Jaderne sily • Yukawaw mezon (podobny prez. 3, str 10)

- krátky dosah jad. sil je možné vysvětlit pomocí výměny hmotné částice (mezonu)
- potenciální energie  $2p^+, 2n^0$  nebo mezi  $p^+$  a  $n^0$  je  $V_j(r) = -\alpha_j \frac{\hbar c}{r} e^{-\frac{mr}{\hbar c}} \xrightarrow{m=0} -\alpha_j \frac{\hbar c}{r}$ ;  $m \approx \frac{\hbar c}{1 \text{ fm}} = 197 \text{ MeV}$
- $\hookrightarrow$  sila je přitažlivá (pro  $r < 0,25 \text{ fm}$  odpuzivá)
- emag. interakce - výměna virtuálního  $\gamma$
- slabá interakce - výměna virt.  $\pi$ -mezonu (jadermi)



## Hmotnost jader

$$Zm_p + (A-Z)m_n > M(A,Z) \quad \text{součet hmot p a n > hmota jadra}$$

$$\text{vazbova energie } B(A,Z) = Zm_p + (A-Z)m_n - M > 0$$

$$\frac{B(A,Z)}{A} \sim 8-9 \text{ MeV} \quad \text{tj. } \sim \frac{1}{100} \text{ hmoty nukleonu}$$

(asi 8,75 pro jeden nukleon železa - nejstabilnější)

## hmotový spektrometr (prez. 3, str 12)

$$ZeE = Ze \cdot V \cdot B \rightarrow V = \frac{E}{B}$$

$$= M \cdot \frac{v^2}{R} \quad ; \quad R = M \frac{v}{ZeB} = M \frac{E}{ZeB^2}$$

$$\rightarrow \left[ M = R \frac{Ze \cdot B^2}{E} \right]$$

hmota jadra se měří ve hmot. spektrometru. Vyrobl se samostatné jadro (bez  $e^-$ ) a pustí se do zkráceného el. a mag. pole působí na něj Lorenzova a el. statická síla. Při určité rychlosti částice projde beze změny směru.

jestliže svazek pustíme jen do mag. pole, optice kružnici o poloměru závislém na jeho hmotnosti  $R = \frac{E}{eBc \sin \alpha} = \frac{E}{\sqrt{p^2 + m^2 c^2}}$

$\rightarrow$  naměřené hmotnosti lze poté upřít vazbovou energií daného jadra

# Kapalný model jádra (Weizsäker)

- jádro jako kapka nestlačitelné kapaliny dominantní člen, který je závislý na počtu nukleonů

- vazbová energie  $B(A, Z) = A - A^{2/3}$  konstanty  $\frac{B}{A} = \text{konst.}$

↑ povrchový člen (maximum okolo  $A \sim 60$ , potom klesá kvůli Coulombické interakci)

Coulombický člen:  $B(A, Z) = -\frac{Z^2}{A^{1/3}} \cdot 0,7 \text{ MeV}$  = potenc. energ. homogenní elektricky nabité koule

v limitě  $R \rightarrow 1,2 \text{ fm} \sqrt{A}$   
jde  $k \rightarrow 0,7 \text{ MeV} \cdot \frac{Z^2}{A^{1/3}}$

↑ pozn: energ. nab. koule snižkem 2 a polom.  $R \cdot B = -B_{\text{Coul.}} = \frac{3}{5} Z^2 \frac{khc}{R}$

Objemový a povrchový člen: energie rovnoměrně "jaderně" nabité koule o polom. R

$$V(r) = -\frac{2}{r} \frac{hc}{hc} e^{-\frac{mr}{hc}}; \rho(r) = \frac{A}{\frac{4}{3}\pi R^3}$$

$$B_{\text{jad}} = -\frac{3}{5} A^2 \frac{hc}{R} \left[ \frac{15}{4} \cdot \frac{2/3 \left(\frac{mR}{hc}\right)^3 - \left(\left(\frac{mR}{hc}\right)^2 - 1\right) - e^{-2\frac{mR}{hc}} \cdot \left(\frac{mR}{hc} + 1\right)^2}{\left(\frac{mR}{hc}\right)^5} \right]$$

→ objemový člen  $R = R_0 A^{1/3} \rightarrow -\frac{3}{2} A \frac{hc}{(mR_0/hc)^3}$

→ povrchový člen  $R = R_0 A^{1/3} \rightarrow +\left(\frac{3}{2}\right)^2 A^{2/3} \frac{hc}{(mR_0/hc)^4}$

⇒ nejlepší se mit jádra se stejně neutrony a protony

další člen je v závislosti na tom, zda jde o:

- lichá - lichá jádra:  $-\frac{1}{A^{1/2}} \cdot 12 \text{ MeV}$
- sudá - sudá jádra:  $+\frac{1}{A^{1/2}} \cdot 12 \text{ MeV}$
- lichá - sudá jádra: 0

$$B = A \cdot 15,6 - A^{2/3} \cdot 17,2 - \frac{Z^2}{A^{1/3}} \cdot 0,7 - \frac{(A - 2Z)^2}{A} \cdot 23,3 + \begin{matrix} \text{lichá-lichá} \\ \text{sudá-sudá} \\ \text{sudá-lichá} \end{matrix}$$

- pro dané A určíme derivaci hodnotu Z, pro kterou je vazbová en. největší:

$$\frac{dB(A, Z)}{dZ} = 0 \rightarrow Z = \frac{A}{2} \cdot \frac{1}{1 + A^{2/3} \cdot 7,5 \cdot 10^{-3}}$$

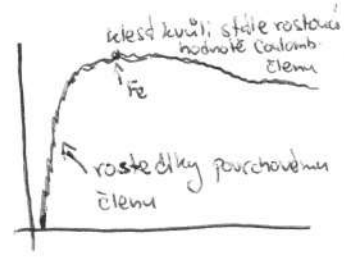
napr. pro  $^{208}_{82}\text{Pb}$  ( $A=208$ ) ideální poměr Z:A - tuto rovnici splňuje tzv. údolí stability

$Z_{\text{Pb}} = 82,3$   
v ideálním případě

o poměru počtu protonů a neutronů v jádře rozhodují ty to dva členy. Coulombický (první) preferuje nejstabilnější jádra s co nejmenším počtem protonů, druhý člen jádra se stejně p a n ⇒ stabilnější budou jádra s větším počtem n než p

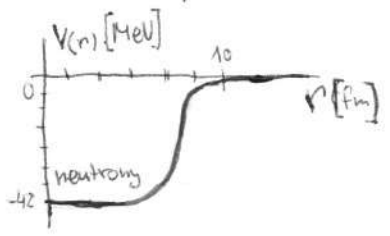
→ jádra se do údolí stability dostávají β-rozpad (nemění se Z, mění se A)

Vazbová energie na 1 nukleon (v údolí stab.)  $B(A) = B(A, Z) \approx B\left(A, \frac{1}{2}A\right)$



# Slupkový model jádra

- jádro jako polokvantový objekt - představa nukleonu v poli zbyvajících  $A-1$  nukleonů, které rovnoměrně vyplňují nabitou kouli
- potenciálové jámy pro neutrony a protony se liší kvalit. Coulombické interakci

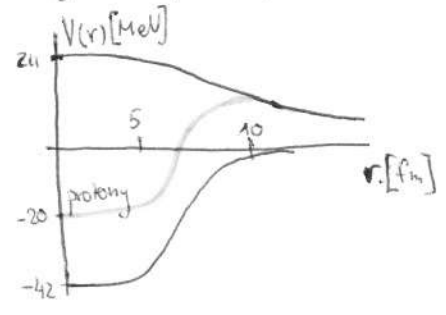


- neutrony jsou uvězněny v potenciálové jámě vytvořené jadernou interakcí

- protony mají jadernou i Coulombickou interakci => výsledná potenciálová jáma je mělčí, než v případě  $n^0$

$$V(A, d_j, m, R) \xrightarrow{R=R_0 A^{1/3}} V(A, d_j, m)$$

- závislost na  $d_j$ :  $V(k, d_j) = k \cdot V(d_j)$  ... s rostoucím  $d$  se jáma prohlubuje
- závislost na  $A$ : s rostoucím  $A$  se mění tvar jámy - jáma se prohlubuje až do  $\approx 40$  MeV (okolo  $A=60$ ) a poté už se jen rozšiřuje => do jádra se vejde více nukleonů; pro malá  $A$  připomíná tvar harmon. oscil., pro velká  $A$  pravouhlou jámu v Saxon-Woodsově rozdělení
- s rostoucím  $Z$  je jáma mělčí

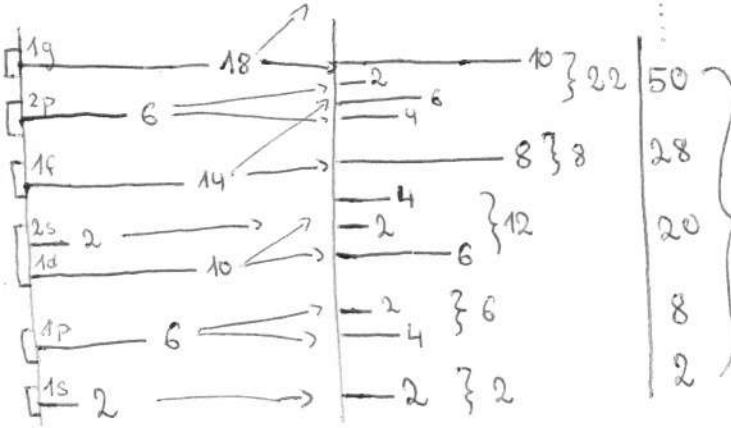


(obrázky v prez. 4, str. 7)

## Magická čísla 2, 8, 20, 28, 50, 82, 126

- jádra s určitým počtem neutronů nebo protonů vykazují abnormálně velkou vazebnou energii
- ještě více stabilní jsou jádra s magickým počtem protonů i neutronů např.  $^{40}_{20}\text{Ca}$  ( $20p^+$  a  $20n^0$ ),  $^4_2\text{He}$
- pro harmonický oscilátor nutně započítat spin-orbitální interakci => rozštěpení hladiny s danou hodnotou  $l > 0$  na dvě hladiny s celkovým impulsem  $j = l + s$

$$-\vec{L} \cdot \vec{S} = -\frac{1}{2}(\vec{J}^2 - \vec{L}^2 - \vec{S}^2)$$



Magická čísla harm. oscil.

## Předpověď slupkového modelu

$$\hat{P} R(r) Y_{lm}(\theta, \phi) = (-1)^l R(r) Y_{lm}(\theta, \phi)$$

- Řešení s danou hodnotou orbitálního momentu  $l$  jsou vlastními stavy operátoru prostorové parity
- > parita je kladná  $+1$  pro sudá  $l$ , záporná  $-1$  pro lichá  $l$
- parita je multiplikačním kvantovým číslem => parita vln. fce. nukleonů v jádrech je určena součinem parit vln. fce. nesparovaných nukleonů

- slopkový model umí také předpovědět celkový spin jader
- nukleony se při obsazování hladin párují, tj. každý pár  $\Rightarrow$  spin nula a kladná parita

Základní stavy jader

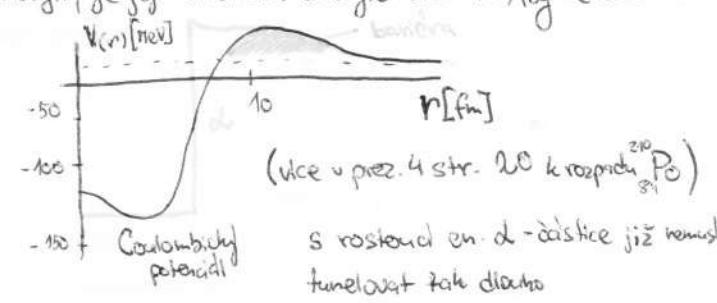
- sudá-sudá jádra: spin 0 a parita +1
- lichá-sudá jádra: spin a parita dány nes párováním nukleonem: např.  $^{15}_0\text{O}$  má spin 1/2 a paritu -1 nes párování p a n mají spin 1/2
- lichá-lichá: spin je dán součtem spinů nes párováních nukleonů, parita součinem parit: např.  $^{14}_7\text{N}$  má spin = 0 nebo 1 a parita  $p = (-1)^{l+1} = 1$

Radioaktivní rozpad  $X_1 + X_2 + \dots \rightarrow Y_1 + Y_2 + \dots$

pro rozpad a reakce se zavádí hodnota Q. Rozpad je energeticky možný, pokud  $Q > 0$   $Q = \sum M_X - \sum M_Y$  jinak by se musela dodat energie

- rozpad  $\alpha$ :  $^A_Z X \rightarrow ^{A-4}_{Z-2} Y + ^4_2\text{He}$  ...  $Q_\alpha = M_X - (M_Y + M_\alpha) \Rightarrow B(A, Z) < B(A-4, Z-2) + B(4, 2)$

- $\alpha$  částice vznikne v jádře, a protože má velkou vazbovou energii, je její kinetická energie kladná. Aby se dostala ven z jádra, musí protunelovat potenciálovou bariérou
- jsou čisté a téměř čisté  $\alpha$ -záření, u téměř čistých je rozpad obvykle doprovázen  $\gamma$ -zářením
- pravděpodobnost průniku bariérou:



$$P = |T|^2 = 16 \cdot \frac{\sqrt{T_\alpha(T_\alpha + V_0)} (V - T_\alpha)}{V(V + V_0)} e^{-2 \frac{\sqrt{2M_\alpha(V - T_\alpha)}}{\hbar c} L}$$

- poločas rozpadu  $\alpha$ -záření silně závisí na energii Q (s rostoucí en. se zkracuje doba života) (prez. 4, str. 22)
- odhad doby života  $\hat{\tau} = \frac{1}{P \cdot f \cdot p_\alpha} \Rightarrow T_{1/2} = \frac{\ln 2}{P \cdot f \cdot p_\alpha}$  kde P je pst. průniku bariérou, f je frekvence nárazů na bariéru a  $p_\alpha$  je pst., že se v jádře vytvoří  $\alpha$ -částice

údaje nejspíše pro  $^{210}_{84}\text{Po}$

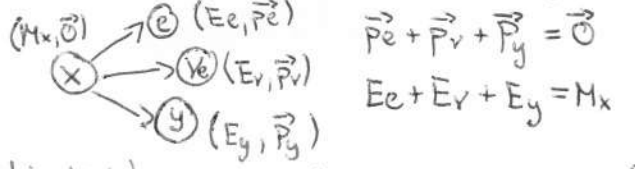
-  $P \approx 2,7 \cdot 10^{-30}$ ;  $f \approx 1,1 \cdot 10^{21} \text{ s}^{-1}$ ;  $p_\alpha \approx 0,1 \Rightarrow T_{1/2} = 270 \text{ dní}$ ; naměřeno je ale  $T_{1/2} = 138 \text{ dní}$

- závislost doby života  $\alpha$ -přechodu na energii je určena členem  $\exp\left(-2 \frac{\sqrt{M_\alpha(V - T_\alpha)}}{\hbar c} L\right)$  ve vztahu pro P
- „Beigerovo - Nutalovo“ pravidlo...  $T_\alpha$  je en.  $\alpha$ -část., V je „výška“ bariéry, L je „tloušťka“ bariéry,  $M_\alpha$  hmotnost  $\alpha$ -část.

Rozpady  $\beta$  ( $\beta^-$ ,  $\beta^+$ , elektronový záchyt)

- $\beta^\pm$ :  $Q = M_X + Zm_e - (M_Y + Zm_e + me) > 0 \rightarrow M_X > M_Y + e$  pozn:  $M_X, Y$  jsou hmoty jader rozpadajícího se a vzniklého prvku (materské a dceřiné jádro)
- EC:  $Q = M_X + Zm_e - (M_Y + (Z-1)m_e) > 0 \rightarrow M_X > M_Y - e$
- elektron, většinou z nejbližší K-slopky přemění jádro:  $e^- + p^+ \rightarrow n^0 + \nu_e$  ... slouží jako monoenergetický zdroj neutrin

spektrum elektronů z  $\beta$ -rozpadů je spojitě  $\Rightarrow$  bylo předpovězeno (anti) neutrino  $\nu_e$ , protože jen  $\nu_e$  a  $e^-$  nevznikne společně



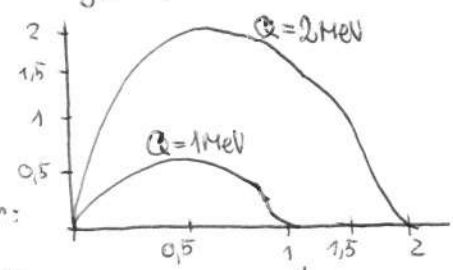
kinetická energie  $S(T_e) \approx p_e E_e p_\nu E_\nu = \sqrt{(T_e + m_e)^2 - m_e^2} \cdot (T_e + m_e) \cdot \sqrt{(Q - T_e)^2 - m_\nu^2} \cdot (Q - T_e)$

konec spektra je citlivý na hmotu neutrina = je o hmotu  $m_\nu$  posunut a změnil se tvar (viz. prez. 4, str. 26)

$S(T_e \rightarrow Q) \approx \sqrt{(Q - T_e)^2 - m_\nu^2} \cdot (Q - T_e) \xrightarrow{m_\nu \rightarrow 0} (Q - T_e)^2$  (tyto členy ovlivňují konec spektra)

• příklady  $\beta$ -zářičů:  $^{90}_{38}\text{Sr} \rightarrow ^{90}_{39}\text{Y} + e^- + \bar{\nu}_e$  s  $T_{1/2} = 28,8 \text{ let}$ ;  $^{90}_{39}\text{Y} \rightarrow ^{90}_{40}\text{Zr} + e^- + \bar{\nu}_e$  s  $T_{1/2} = 64,1 \text{ hod.}$  (5)

- $\beta$ -rozpady slouží k tomu, aby jádra dosáhla údolí stability (při stejném  $A$  se zvyšuje  $Z$ )
- u lichého  $A$  je nejstabilnější  $^{39}_{18}\text{Ar}$ , u sudého  $A$  se  $\beta$ -rozpadem přemění jádro na sudoliché
- je možný dokonce podvojný rozpad  $\beta$ :  $n^0 \rightarrow p^+ + e^- + \bar{\nu}_e$
- spektra elektronů a pozitronů jsou ovlivněna nábojem jádra - pro elektrony jsou posunuta k nižším energiím, pro pozitrony k vyšším (viz. obr. prez. 5 str. 2)



- závislost doby života na  $Q$ :
  - pravděpodobnost úměrná velikosti fázového objemu, tj. integrálu spekter:

$$P(Q) = \int_0^Q \sqrt{(T+me)^2 - m_e^2} \cdot (T+me) \cdot \sqrt{(Q-T)^2 - m_e^2} \cdot (Q-T) dT \rightarrow T_{1/2}(Q) \approx \frac{1}{P(Q)}$$

- závislost doby života na rozdílu spinu a parity:
  - pravděpodobnost rozpadů závisí na rozdílu spinů a parit mateřského a dceřiného jádra a rozpady s velkým rozdílem spinů jsou silně potlačeny
  - spin dvojice elektron + neutrinu může být nula nebo jedna (povolené a potlačené přechody viz tabulka prez. 5 str. 4)

- rozpad volného neutronu  $n^0 \rightarrow p^+ + e^- + \bar{\nu}_e$ 
  - $Q = m_n - m_p - m_e - m_{\nu} = (939,57 - 938,27 - 0,511 - 0) \text{ MeV} = 0,79 \text{ MeV}$
  - $T_{1/2} = 614 \text{ s}$ ;  $\tau = 890 \text{ s}$

- např. rozpad tritia:  $^3_1\text{H} \rightarrow ^3_2\text{He} + e^- + \bar{\nu}_e \dots T_{1/2} = 12,3 \text{ let}$
- velmi malá hodnota  $Q = 18,6 \text{ keV}$  - odpovídá jí docela dlouhý  $T_{1/2}$ , naproti tomu pro  $^{12}_5\text{B}$ , který má  $Q = 13,4 \text{ MeV}$ 
  - $^{12}_5\text{B} \rightarrow ^{12}_6\text{C} + e^- + \bar{\nu}_e \dots T_{1/2} = 20,2 \text{ ms}$

- $\beta$ -rozpady nemění počet nukleonů  $\Rightarrow$  dějí se podél linií kolmých na údolí stability
  - izotopy = jádra se stejným  $Z$ , tj. počtem protonů
  - izobary = jádra se stejným počtem nukleonů  $A$ 
    - pro izobary s liché počtem nukleonů pozorujeme 1 stabilní jádro, pro izobary se sudým počtem je jich více (viz obrázky prez. 5 str. 5-6) jádra se sudým  $A$  mají totiž ve vzájemné en.  $B(A, Z)$  navíc člen  $\begin{matrix} \text{sudo-sudo} \\ \text{liché-liché} \end{matrix}$  interakce
    - abnormality představují jádra s magickými čísly

- Dvojný  $\beta$ -rozpad
  - možný jen u některých sudolichých jader, např.  $^{100}_{42}\text{Mo} \rightarrow ^{100}_{44}\text{Ru} + 2e^- + 2\bar{\nu}_e$
  - pokud mají neutrina hmotu a jsou totožná s antineutriny, bylo by možné vytvořit bezneutrinový dvojný  $\beta$ -rozpad (zatím nepozorováno) - tento proces by nezachovával leptonové číslo  $^A_Z X \rightarrow ^A_{Z+2} Y + 2e^-$

### Rozpadové řady

$\alpha$ -rozpady mění počet nukleonů o 4 a  $\text{mod}(A,4) = \{0,1,2,3\}$   
4 možné řady

- v přírodě jsou známé čtyři rozpadové řady z nichž 3 končí izotopy olova  
- probíhají při nich  $\alpha$ -rozpad a následně  $\beta$ , které prvky "vrací" do úrovně stability, občasné doprovázeno  $\gamma$

- Thoriová:  $^{232}\text{Th} \rightarrow \dots \rightarrow ^{208}_{82}\text{Pb}$   $T_{1/2} = 13,9 \cdot 10^9 \text{ let}$ ;  $\text{mod}(A,4) = 0$
- Neptuniová:  $^{237}\text{Np} \rightarrow \dots \rightarrow ^{209}_{83}\text{Bi}$   $T_{1/2} = 0,00255 \cdot 10^9 \text{ let}$ ;  $\text{mod}(A,4) = 1$  (už zanikla)
- Uranová:  $^{238}\text{U} \rightarrow \dots \rightarrow ^{206}_{82}\text{Pb}$   $T_{1/2} = 4,51 \cdot 10^9 \text{ let}$ ;  $\text{mod}(A,4) = 2$
- Aktiniová:  $^{235}\text{U} \rightarrow \dots \rightarrow ^{207}_{82}\text{Pb}$   $T_{1/2} = 0,707 \cdot 10^9 \text{ let}$ ;  $\text{mod}(A,4) = 3$

### Rozpadový zákon

$$N(t) = N(0) \cdot e^{-\lambda t}; T_{1/2} = \frac{\ln 2}{\lambda}$$

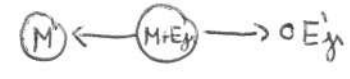
- velmi krátké doby života se (např. v  $\gamma$ -přechodech) mění pomocí rozdělení energií  $\gamma$ ;  $\gamma$ -přechody v jádrech

tzv. "Breit-Wignerova formule"  $\frac{dP}{dE} = \frac{1}{\pi} \frac{\frac{1}{2}\Gamma}{(E-E_0)^2 + (\frac{1}{2}\Gamma)^2}$  kde  $\Gamma = \text{FWHM}$  (pološířka)

- $\Gamma = \frac{\hbar}{\tau} = \frac{hc}{c\tau}$  ... pro  $\tau = 1 \text{ ns} (= 10^{-9} \text{ s}) \rightsquigarrow \Gamma = 6,6 \cdot 10^{-7} \text{ eV}$
- ... " -  $1 \text{ ps} (= 10^{-12} \text{ s}) \rightsquigarrow \Gamma = 6,6 \cdot 10^{-4} \text{ eV}$
- ... " -  $1 \text{ fs} (= 10^{-15} \text{ s}) \rightsquigarrow \Gamma = 6,6 \cdot 10^{-1} \text{ eV}$

### Mössbauerův jev

- při  $\gamma$ -přechodu jádro odnáší část energie a tak je energie  $\gamma$  o něco menší!



$$E'_{\gamma} = E_{\gamma} - \frac{E_{\gamma}^2}{2(M+E_{\gamma})} \quad \text{např. pro } ^{191}_{77}\text{Ir je } E_{\gamma} = 129 \text{ keV} \Rightarrow E'_{\gamma} = E_{\gamma} - 47 \cdot 10^{-3} \text{ eV}$$
$$\Gamma = 3,6 \text{ meV}$$

- a naopak pro vybudování jádra do excit. stavu je potřeba energie o trochu větší než odpovídá energii  $\gamma$ -přechodu

$$E''_{\gamma} = E_{\gamma} + \frac{E_{\gamma}^2}{2M} \quad \text{např. pro } ^{191}_{77}\text{Ir je } E''_{\gamma} = E_{\gamma} + 47 \cdot 10^{-3} \text{ eV}$$

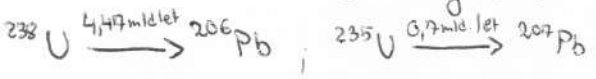
- je-li atom zabudovaný do velkého krystalu, tj.  $M \rightarrow \infty$  vidíme, že efekt se ztrácí  $\langle \frac{E'_{\gamma}}{E''_{\gamma}} \xrightarrow{M \rightarrow \infty} E_{\gamma}$

(dalsi podrobnosti a měření viz prez. 5 str. 16-17)

- z Breit-Wignerovy křivky lze určit pološířku  $\Gamma$  a z ní určit str. dobu života

### Důležitými pomůckami radioaktivních rozpadů

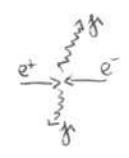
- metoda uran - olovo - v uranových dolech vzniklo olovo z uranu, na počátku tam žádné nebylo, protože se Pb s U chemicky nesesou => určeno stáří Země ~ 4,2 mld. let (předpoklad, že na počátku byl stejně zastoupen  $^{238}\text{U}$  jako  $^{235}\text{U}$ )



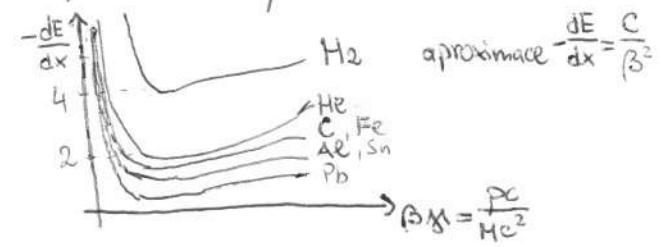
- metoda rubidium - stroncium - používá se ke zkoumání stáří meteoritů  $^{87}_{37}\text{Rb} \rightarrow ^{87}_{38}\text{Sr} + e^- + \bar{\nu}_e$ ;  $T_{1/2} = 46,8 \cdot 10^9 \text{ let}$

# Interakce záření s prostředím

- rozpady  $\beta$ :
  - $\beta^-: {}^A_Z X \rightarrow {}^A_{Z+1} Y + e^- + \bar{\nu}_e$  ( $n \rightarrow p + e^- + \bar{\nu}_e$ ) energie  $\sim$  MeV
  - $\beta^+: {}^A_Z X \rightarrow {}^A_{Z-1} Y + e^+ + \nu_e$  ( $p \rightarrow n + e^+ + \nu_e$ )  $e^+$  může dle anihilovat s  $e^-$
  - elektronový záchyt:  $e^- + {}^A_Z X \rightarrow {}^A_{Z-1} Y + \nu_e$  ( $e^- + p \rightarrow n + \nu_e$ )



- rozpad  $\alpha$ :  ${}^A_Z X \rightarrow {}^{A-4}_{Z-2} Y + {}^4_2 He$



## Ionizační ztráty (všechny nabitel částice)

- uváděny v  $\frac{MeV}{g \cdot cm^{-2}}$  (ynásobením hust.  $\rho$  lze převést na  $MeV \cdot cm^{-1}$ )
- záření vstř. do ktky a vyraží z ní elektrony  $\Rightarrow$  ztráta energie  $(E, \vec{p}) + (m_e, \vec{0}) \rightarrow (E', \vec{p}') + (E_e, \vec{p}_e)$
- maximální předaná energie (záření předá veškerou hybnost elektronu)  $T_{max} = \frac{2me\beta^2\gamma^2}{1+2\gamma\frac{me}{M}+(\frac{me}{M})^2}$
- $T_{min} = I \sim 10eV$ . Z „střední excitační energie“ - vazba elektronů v atomu

velikost  $(\frac{dE}{dx})_{min}$ :  $H_2 \rightarrow 4 \frac{MeV}{g \cdot cm^{-2}}$ ;  $C, H_2O \sim 2$ ;  $Pb \sim 1,12$

doběh  $-\frac{dE}{dx} = \frac{(\frac{dE}{dx})_{min} \cdot \rho}{\beta^2}$  separ.  $\rightarrow -dE \frac{E^2 - m^2}{E^2} = (\frac{dE}{dx})_{min} \rho dx \rightarrow -\int_{E_0}^m \dots dE = \int_0^R \dots dx \rightarrow R = \frac{E_0 - m}{(\frac{dE}{dx})_{min} \cdot \rho} \cdot \frac{E_0 - m}{E_0}$

$R = \frac{T_k}{(\cdot) \cdot \rho} \cdot \frac{T_k}{T_k + m}$

- $T_k \ll m: \sim T_k^2$
- $T_k \gg m: \sim T_k$

$\left. \begin{array}{l} \text{částice: } Z=2, m_e = 3,7266eV, T_k = 7,7MeV \\ \text{ve vzduchu: } R = 1,7cm \\ \text{ve vodě: } R = 20\mu m \\ \text{ve zlatě: } R = 1,7\mu m \end{array} \right\}$

## Interakce elektronů

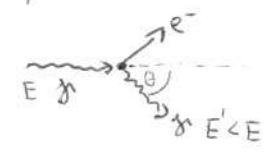
- také ionizují a mohou předat více energ. v jedné srážce
- při  $E > E_c = 800 MeV \cdot \frac{1}{(Z+1/2)}$  dominuje brzdné záření: doběh 304m ve vzduchu; 36cm v  $H_2O$ ; 1,8cm v Fe

$E_c(Fe) \sim 30MeV$

## Interakce $\gamma$

3 procesy

- fotoelekt: malé energie  $\sim 1MeV$  (pohlcení  $\gamma \rightarrow e^-$ )
- Compton:  $E'_{\gamma} = \frac{E_{\gamma}}{1 + \frac{E_{\gamma}}{m_e}(1 + \cos\theta)}$ ;  $\Delta E_{\gamma} = E_{\gamma} - E'_{\gamma}$ ;  $\Delta E_{\gamma max} = \frac{2E_{\gamma}^2}{m_e + 2E_{\gamma}}$  Comptonova hrana
- tvorba páří:  $e^{\pm}: \gamma + e^- \rightarrow e^- + e^- + e^+$
- prahová energie:  $E_{\gamma pr.} = 2m_e(1 + \frac{m_e}{M})$ 
  - $M \gg m_e \rightarrow \sim 2m_e$
  - $M = m_e \rightarrow \sim 4m_e$



## Interakce neutronů

- záchyt pomalých neutronů: kinetická energie uvažována  $\gamma$ -kvanty
- průžný rozptyl na malých částicích ( $H_2$ ): při srážce neutron předá kinet. energ. (nedochází k ionizaci) a odrazí se, takže se provádí „moderace“ jeho kinetické energie

### Dávky záření

- mírný z kosmického záření:  $\sim 1 \text{ mion/s}$  dopadne na plochu  $\text{dm}^2$ ;  $(\frac{dE}{dx})_{\text{min}} = 2 \frac{\text{MeV}}{\text{gcm}^{-2}}$
- tj. na  $\text{dm}^2$  dopadne  $1,88 \cdot 10^{10} \text{ MeV/rok} = 3 \cdot 10^{-3} \text{ J/rok}$
- dávka na 80kg (vody)  $\sim 0,04 \text{ mSv/rok}$
- za rok člověk v průměru obdrží 2-3 mSv (z toho 1-2 mSv je z Radonu ze zdi + plyn emitující d)
- zaměstnanci  $\sim 20 \text{ mSv ročně}$
- CT dost ozáří (2-10 mSv) Braggův pik
- v lékařství využít PET - pozitronová emisní tomografie  $^{18}_8\text{F} \rightarrow ^{18}_8\text{O} + e^+ + \nu_e$ ;  $e^+ + e^- \rightarrow 2\gamma$
- pro dolet  $\sim 22 \text{ cm}$  v kůži nutno  $T_k = 230 \text{ MeV}$  - z Lorentzovy sly je možné vyjádřit  $R = \frac{pc}{eCB}$  poloměr vychlíváče
- místedky ozáření (tabulka prez. 5, str. 25) dolet  $R = \frac{T_k}{\rho \cdot (\frac{dE}{dx})_{\text{min}}}$

### Radioaktivita lidského těla

- draslík se stabilním izotopem 39 a radioaktivním izotopem 40, ten je zastoupen z 0,012%
- dospělý člověk  $\sim 200 \text{ g K}$  (z toho 0,012%  $^{40}_{19}\text{K}$ )
- $^{40}_{19}\text{K}$ :  $T_{1/2} = 1,25 \text{ mld. let}$ ;  $\lambda = 1,8 \text{ mld. let}^{-1}$
- $200 \text{ g K} \Rightarrow 3,6 \cdot 10^{20}$  jader  $^{40}_{19}\text{K} \Rightarrow 6350 \frac{\text{rozpadů}}{\text{s}}$
- ze 6350 rozpadů za sec. je  $\sim 635$  doprovázeno  $1,46 \text{ MeV}$   $\gamma$ -zářením
- ve  $\sim 90\%$  se rozpadá  $\beta$ -zářením na stabilní  $^{40}_{20}\text{Ca}$  (dvojnásobně těžký) elektrony zde mají max  $E = 1,3 \text{ MeV}$
- ve  $\sim 10\%$  dojde k  $e^-$ -záchytu a excitovaný stav je doprovázen  $\gamma$ -zářením o  $E = 1,46 \text{ MeV}$ , rozpadá se na stabilní  $^{40}_{18}\text{Ar}$

### Léčba

- $\beta$ -zářiče je možné např. vložit do glukosy  $\rightarrow$  člověk vypije zářiče a ty se rozloží po těle
- zářiče produkují pozitrony, které anihilují s elektrony  $e^+ + e^- \rightarrow 2\gamma$ . Pravděpodobnost anihilace závisí na  $Z^2 \Rightarrow$  dojde k ní pravděpodobněji v kostech než v měkké tkáni
- jako  $\beta$ -zářiče se používají např.  $^{15}\text{O}$ ,  $^{13}\text{N}$ ,  $^{11}\text{C}$ ,  $^{18}\text{F}$ ; vyřadí se nastřílením protonů do stabilních jader ( $^1_1\text{p} + ^{12}_6\text{C} \rightarrow ^{13}_7\text{N}$ )
- mají velmi krátké poloč. rozpadu  $T_{1/2} \sim 2 \text{ minuty}$

Datování stárání organizmů - C12: 98,89% ; C13: 1,11% ; C14: 10<sup>-3</sup>% - nobelova cena: W.F. Libby  
 - metoda <sup>14</sup>C - také tvoří CO<sub>2</sub>, který se dostává do zelených rostlin - živočišné přijímají rostliny dostávají do těla C14 společně s C12, dokud žijí, jsou tyto uhliky v rovnováze, po smrti se začne nestabilní C14 rozpadat  
 - je třeba brát v úvahu také změnu obsahu C14 v atmosféře (kvůli spalování uhlí, nebo jako důsledek jaderných testů)

Štěpení jader (nobelovka: Otto Hahn)

- stabilní jadra se vyskytují v okolí olova. Těžká jadra se vyrábí ozářováním neutrony, protony a jádry lehkých prvků  
 - Otto Hahn ozářoval uran a zjistil, že vzniká lehčí jádro Baria, protože je energeticky výhodnější  
 - k rozpadu dochází ale pouze za určitých podm., neboť tomu zabráňuje Coulombická bariéra  
 •  $^1_0n + ^{235}_{92}\text{U} \rightarrow ^{141}_{56}\text{Ba} + ^{92}_{36}\text{Kr} + 3^1_0n$  (štěpení uranu);  $Q \approx 160 \text{ MeV}$  ... vzniklá jádra Ba a Kr mají polkř. mnoho neutronů  $\rightarrow \beta$  rozpadů přejdou do údolí stability za vzniku antineutrín (Barium podstoupí 3  $\beta$  rozpadů, Krypton - " - 4  $\beta$  rozpadů)  
 - štěpení je převážně asymetrické což souvisí se zvýšenou stabilitou jader obsahující magické počty neutronů 50 a 82 (Antineutrín na jedno štěpení)  
 (pozn: při 1 rozpadu U235 dojde k uvolnění v 200keV energie  $\Rightarrow$  po rozpadu 1g <sup>235</sup>U vznikne v 82 GJ energie)

Deformace jader a spontánní štěpení

- jádro lze rozštěpit pouze pokud je dostatečně velké a má dostatek protonů  
 - představme si jádro jako elipsoid:  $R_x = R_y = \frac{R}{\sqrt{1+\epsilon}}$ ;  $R_z = R(1+\epsilon)$  ... je tato představa výhodnější než koule  
 - objemový člen vazebné energy. se nemění  
 - povrch je v prvním přiblížení větší o  $\frac{2}{5} \epsilon^2 4\pi R^2$ ;  $R^2$  je větší o  $\frac{2}{5} \epsilon^2 \rightarrow$  roste abs. hod. povrchového členu  
 - Coulombický člen  $\sim \frac{1}{R}$ : jeho abs. hod. klesá  
 - bude-li jádro silněji vázáno, bude proces jeho deformace dále pokračovat až dojde ke spontánnímu štěpení  
 - výsledná podm. pro vznik spont. štěpení je  $\frac{Z^2}{A} > \frac{34,4}{0,7} \approx 49 \Rightarrow$  jádra s poměrem  $\frac{Z^2}{A} > 49$  se spont. rozštěpí  
 - př:  $^{235}_{92}\text{U}: \frac{Z^2}{A} = 36$ ;  $^{252}_{99}\text{Cf}: 38$  (ty co vzniknou při štěpení mají energii ~ MeV)  
 - štěpení lze vyvolat pohlcením neutronu (ideálně s malou energií ~ desítky eV) např. pro U235, tyto neutrony se nazývají termální ( $2,5 \cdot 10^3 \text{ eV} = kT(300 \text{ K})$ ) a proces jejich zpomalení nazýváme moderace  
 - moderace se provádí pomocí pružných středek, nejčastěji ve vodě, voda totiž zároveň působí jako chladic  
 $^1_0n \rightarrow \text{H}_2\text{O} \leftarrow \text{H}_2\text{O} \rightarrow \text{H}_2\text{O} \leftarrow \text{H}_2\text{O} \rightarrow \text{H}_2\text{O}$  pozn: pro moderaci energie 1MeV na 1eV je třeba v 120 pružných středek s jádry O nebo v 20 středek s jádry H  
 - účinný průřez interakce neutronů s jádry H je  $\sigma = 2 \text{ barn} = 2 \cdot 10^{-24} \text{ cm}^2$ , pro O je to  $\sigma = 5 \text{ barn}$ , vodíku je ve vodě ale 2x více  
 - moderace 1MeV  $\rightarrow$  1eV při srážkách s vodíkem trvá 13,3  $\mu\text{s}$ , s kyslíkem 84,5  $\mu\text{s}$   
 - pozn: při roční uran je nutno obohatit na zesteplení U235 v 4% (dělá se v odstředivce)  
 ze 100 neutronů je v 98 zachyceno v U238 a jen v 2 z nich vyvolá štěpení  $\rightarrow 8 \times 3 = 24 \text{ n}^\circ$   
 v 2 zachyceny v U235  $\rightarrow$  další  $2 \times 3 = 6 \text{ n}^\circ \Rightarrow$  dohromady v 30 n<sup>o</sup>  
 v reaktorech vzniká také izotop Pu 239, ze kterého pochází v 1/3 výsledné energie (ze štěpení)  
 - př: Temelín: 2bky, termální výkon 2x36W, elektrický 2x16W, palivo je kysličník uranovitý obohacený na v 4,25%, roční spotřeba v 27 tun; moderátorem je voda

### Jaderné reakce

$a + A \rightarrow b + B$  ... značí se (zkráceně se zapisuje) :  $A(a,b)B$   
 $Q = M_a + M_A - (M_b + M_B) \rightarrow Q > 0$  exotermická reakce  
 $\rightarrow Q < 0$  endotermická reakce

př:  ${}^4_2\text{d} + {}^{14}_7\text{N} \rightarrow {}^{17}_8\text{O} + {}^1_1\text{p} : N(\alpha, p)O$   
 Rutherfordův objev protonu  
 ${}^4_2\text{d} + {}^9_4\text{Be} \rightarrow {}^{12}_6\text{C} + {}^1_0\text{n} : Be(\alpha, n)C$   
 Chadwickův objev neutronu

### Termojaderná fúze (těžší jádro je lépe vázáno)

#### Slunce

${}^1_1\text{H} + {}^1_1\text{H} \rightarrow {}^2_1\text{H} + e^+ + \nu_e ; Q = 0,4 \text{ MeV}$  exotermická (uvolnění energie)

- neexistuje vázaný stav mezi  $p^+ - p^+$  ani  $n^0 - n^0$ , pouze  $p^+ - n^0 =$  deuterium

${}^2_1\text{H} + {}^2_1\text{H} \rightarrow {}^4_2\text{He} ; Q = 23,8 \text{ MeV}$  - tato uvolněná energie je ale dostatečná na to, aby se přeměnila na odtržení protonu nebo neutronu  $\rightarrow$  častěji nastane jeden z případů:  
 ${}^2_1\text{H} + {}^2_1\text{H} \rightarrow {}^3_2\text{He} + n^0 ; Q = 3,3 \text{ MeV}$   
 ${}^2_1\text{H} + {}^2_1\text{H} \rightarrow {}^3_1\text{H} + p^+ ; Q = 4,0 \text{ MeV}$   
 Helium poté vzniká:  ${}^2_1\text{H} + {}^3_1\text{H} \rightarrow {}^4_2\text{He} + n^0 ; Q = 17,6 \text{ MeV}$

- i uvnitř Slunce mají deuterony mnohem menší energii než je potřeba k překonání potenciální (Coulombické) bariéry, reakce ale přesto probíhá díky kvantovému tunelování (v maximum má potenc. hodnotu  $V = \alpha \frac{hc}{R} = 830 \text{ keV}$ )

#### Fúzní reaktory (plánovaný projekt ITER ve Francii)

- využívají fúze jader vodíku  ${}^2_1\text{H}$  a  ${}^3_1\text{H}$  na Helium za exotermické reakce  $17,6 \text{ MeV}$

- tritium se získává z reakce:  ${}^1_0\text{n} + {}^6_3\text{Li} \rightarrow {}^4_2\text{He} + {}^3_1\text{H}$  (lithia je na světě spousta)

- počet interakcí za čas:  $N(t) = n^2 \cdot \sigma \cdot V \cdot t$

- získaná energie:  $E(t) = N(t) \cdot T_k(\text{He}) ;$  dodaná energie:  $E = 3n kT$

- aby byla získaná en. větší než dodaná, musí být  $n \cdot t \cdot kT > 7 \cdot 10^{20} \text{ m}^{-3} \text{ s}^{-1} \text{ keV}$

- pozn.  $kT$  pro  $T = 300 \text{ K}$  odpovídá hodnotě  $25 \cdot 10^{-3} \text{ eV}$ , na fúzi deuteria a tritia je ale optimální  $kT \sim 13,6 \text{ keV}$   
 $t_j$  - asi  $0,5 \cdot 10^6$  tok...